

Analyse et synthèse de l'implémentation de lois de contrôle-commande en précision finie

Étude dans le cadre des applications automobiles sur calculateur
embarqué

THIBAUT HILAIRE

Rapporteurs	D. ALAZARD	<i>Supaéro</i>
	J. WHIDBORNE	<i>Cranfield University</i>
Examineurs	F. AÏOUN	<i>PSA Peugeot-Citroën</i>
	P. CHEVREL	<i>École des mines de Nantes</i>
	O. SENTIEYS	<i>Université de Rennes (ENSSAT)</i>
	Y. TRINQUET	<i>Université de Nantes (IUT de Nantes)</i>
Invité	J-P. CLAUZEL	<i>PSA Peugeot-Citroën</i>

Contexte

- Thèse CIFRE avec PSA Peugeot-Citroën

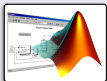


- Encadrée par
 - P. Chevrel et Y. Trinquet (IRCCyN)
 - J-P. Clauzel (PSA : Commande de Logiciels Organes)

Plan

- 1 Problématique précision finie
 - Contexte
 - Sources de dégradations
 - Non équivalence en précision finie
 - État de l'art
- 2 La forme implicite pour formalisme
- 3 Critères d'analyse en précision finie
- 4 Synthèse
- 5 Conclusions

Contexte industriel

Lois de
contrôle-commande

$$H(z) = \frac{0.004708z^4 - 0.0251z^3 - 0.553z^2 + 0.05844z^4 - 0.07008z^3 + 13.38z^2 - 16.98z + 12.18z^4 - 0.0251z + 0.7526}{z^5 - 0.0251z^4 - 0.07008z^3 + 13.38z^2 - 16.98z + 12.18}$$

$$\begin{aligned} X_{k+1} &= AX_k + BU_k \\ Y_k &= CX_k + DU_k \end{aligned}$$



Calculateur embarqué

```

01 07 000000
02 000000
03 000000
04 000000
05 000000
06 000000
07 000000
08 000000
09 000000
10 000000
11 000000
12 000000
13 000000
14 000000
15 000000
16 000000
17 000000
18 000000
19 000000
20 000000
21 000000
22 000000
23 000000
24 000000
25 000000
26 000000
27 000000
28 000000
29 000000
30 000000
31 000000
32 000000
33 000000
34 000000
35 000000
36 000000
37 000000
38 000000
39 000000
40 000000
41 000000
42 000000
43 000000
44 000000
45 000000
46 000000
47 000000
48 000000
49 000000
50 000000
51 000000
52 000000
53 000000
54 000000
55 000000
56 000000
57 000000
58 000000
59 000000
60 000000
61 000000
62 000000
63 000000
64 000000
65 000000
66 000000
67 000000
68 000000
69 000000
70 000000
71 000000
72 000000
73 000000
74 000000
75 000000
76 000000
77 000000
78 000000
79 000000
80 000000
81 000000
82 000000
83 000000
84 000000
85 000000
86 000000
87 000000
88 000000
89 000000
90 000000
91 000000
92 000000
93 000000
94 000000
95 000000
96 000000
97 000000
98 000000
99 000000
100 000000

```

010010110101010010111201010



Contexte

Problématique *numérique*

L'implémentation de la loi entraîne une dégradation de la loi

- modification des caractéristiques
 - modification des performances
-
- Comment évaluer *a priori* la dégradation ?
 - Comment comparer différentes réalisations d'une même loi ?
 - Quelles réalisations/algorithmes sont à considérer ? Avec quel coût de calcul ?

Sources de dégradations

Sources de dégradations

La dégradation *Précision Finie* a deux origines :

- Quantification des coefficients mis en jeu
→ *erreurs paramétriques*
- Bruits de quantification qui apparaissent dans les calculs, dus aux arrondis
→ *bruits numériques*

On ne s'intéressera ici principalement qu'aux erreurs paramétriques

Calculs en précision finie (*Finite Word Length*)

Tous les réels manipulés sont représentés en virgule fixe ou virgule flottante (selon contexte).

Représentation virgule fixe

- Un nombre est représenté sous la forme $2^p \cdot N$
 - N : nombre entier (signé ou non) sur b bits
 - p : entier fixé représentant le facteur d'échelle
- Le pas de quantification 2^p est fixé, la dynamique des variables est figée (et limitée)

Les 1^{ers} bits de π s'écrivent

011_Δ00100100001111110110101010001000...

Pour $b = 8$, on choisira, par exemple, $p = -5$

$$\pi \approx 101.2^{-5}$$

Équivalence des réalisations

Pour une loi donnée, il existe une infinité de réalisations mathématiquement équivalentes

- pour un régulateur linéaire sous forme d'état

$$\begin{cases} X_{k+1} &= AX_k + BU_k \\ Y_k &= CX_k + DU_k \end{cases}$$

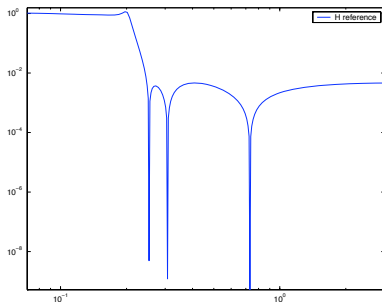
on peut considérer toutes les réalisations équivalentes obtenues par un changement de base sur le vecteur d'état

En précision finie, toutes ces réalisations ne sont plus équivalentes. La dégradation dépend de la réalisation choisie

Exemple

On considère l'exemple suivant [Will86] (filtre passe bas, à bande étroite)

$$H(z) = \frac{0.004708z^6 - 0.0251z^5 + 0.05844z^4 - 0.07608z^3 + 0.05844z^2 - 0.0251z + 0.004708}{z^6 - 5.653z^5 + 13.38z^4 - 16.98z^3 + 12.18z^2 - 4.679z + 0.7526}$$



Exemple

Il existe de nombreuses façons de réaliser numériquement ce filtre

- forme directe (I ou II)
- forme d'état (choix d'une base pour l'état)
- utilisation de l'opérateur δ
- décomposition cascade, parallèle
- ...

Chacune de ces réalisations va utiliser une paramétrisation différente.

L'impact de l'implémentation (quantification des coefficients) sera alors différent.

Problématique

Non équivalence en précision finie

Exemple

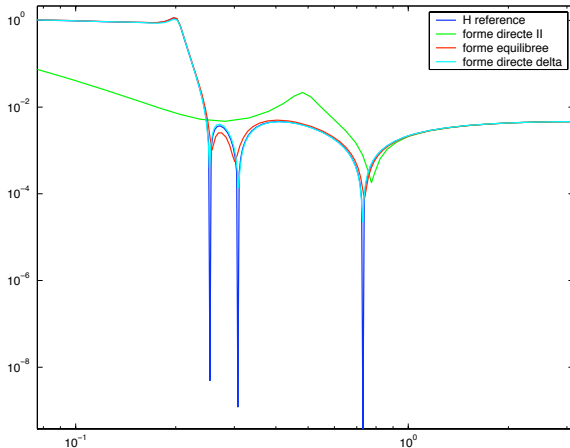


Diagramme de Bode avec coefficients virgule fixe sur 11 bits

Problématique

Non équivalence en précision finie

Exemple

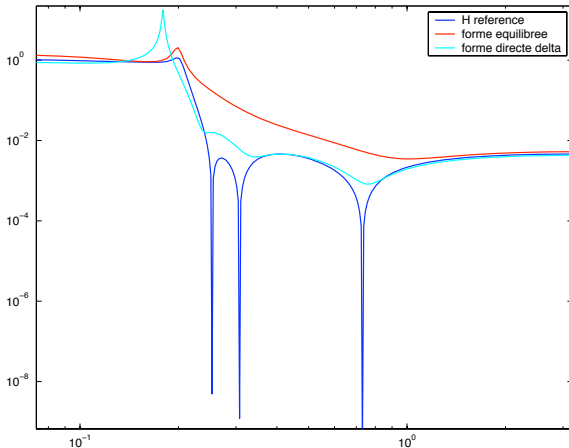


Diagramme de Bode avec coefficients virgule fixe sur 6 bits

Exemple

Ce petit exemple montre l'impact

- de la quantification
- du choix de la paramétrisation
- du choix de la représentation des nombres

L'objectif de ce travail est

- formaliser les différentes possibilités d'implémentation, de paramétrisation
- évaluer *a priori* l'impact de la quantification

Une longue histoire...

- Problématique *Traitement du signal*
 - Rapport signal à bruit de quantification
 - Formes d'état *optimales* (Hwang 1975, Mullis&Roberts 1976, ...)
- Problématique *Automatique*
 - sensibilité paramétrique, sensibilité des pôles
 - formes d'état *optimales* (Thiele 1984, Gevers 1993, Wu 2001, ...)

Plan

- 1 Problématique précision finie
- 2 La forme implicite pour formalisme
 - Expression
 - Exemples
- 3 Critères d'analyse en précision finie
- 4 Synthèse
- 5 Conclusions

Un formalisme unificateur

Comment modéliser toutes ces réalisations ?

Afin de prendre en compte les différentes possibilités de paramétrisation, nous avons proposé d'utiliser une forme implicite spécialisée comme formalisme unificateur [Hila05a] :

Intérêts du formalisme

- description *macroscopique* d'une implémentation en précision finie
- plus général que les précédentes réalisations
- plus réaliste en regard de la paramétrisation utilisée
- directement relié aux calculs effectués (et donc au code utilisé)

Forme implicite spécialisée

On se propose de décrire l'algorithme sous la forme

- 1 $J.T_{k+1} = M.X_k + N.U_k$
- 2 $X_{k+1} = K.T_{k+1} + P.X_k + Q.U_k$
- 3 $Y_k = L.T_{k+1} + R.X_k + S.U_k$

Forme implicite spécialisée

$$\begin{pmatrix} J & 0 & 0 \\ -K & I & 0 \\ -L & 0 & I \end{pmatrix} \begin{pmatrix} T_{k+1} \\ X_{k+1} \\ Y_k \end{pmatrix} = \begin{pmatrix} 0 & M & N \\ 0 & P & Q \\ 0 & R & S \end{pmatrix} \begin{pmatrix} T_k \\ X_k \\ U_k \end{pmatrix}$$

Variables intermédiaires

Les variables intermédiaires introduites permettent

- de faire apparaître explicitement tous les calculs réalisés, ainsi que les variables intermédiaires utilisées
- d'indiquer l'ordonnancement des calculs
- autorisent une paramétrisation plus riche

Forme implicite

La forme présentée est implicite

- l'état ou la sortie peuvent être calculés à partir de variables intermédiaires (calculées lors de la même itération)
- une variable intermédiaire peut être calculée à partir d'une autre variable intermédiaire préalablement calculée (ordonnancement des calculs)

le calcul de T_{k+1} s'écrit $J.T_{k+1} = M.X_k + N.U_k$

$$\text{avec } J = \begin{pmatrix} 1 & 0 & \dots & \dots & 0 \\ \star & \ddots & 0 & & \vdots \\ \vdots & \star & 1 & 0 & \vdots \\ \vdots & & \star & \ddots & 0 \\ \star & \dots & \dots & \star & 1 \end{pmatrix}$$

Opérateur δ

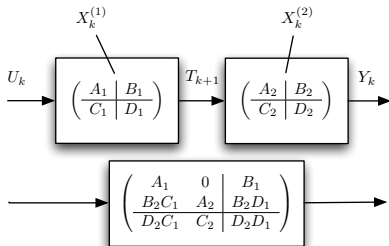
Une réalisation avec l'opérateur δ est donnée par :

$$\begin{cases} \delta X_k &= A_\delta X_k + B_\delta U_k \\ Y_k &= C_\delta X_k + D_\delta U_k \end{cases} \quad \delta \triangleq \frac{q-1}{\Delta}$$

et il correspond à la forme implicite suivante :

$$\begin{pmatrix} I & 0 & 0 \\ -\Delta I & I & 0 \\ 0 & 0 & I \end{pmatrix} \begin{pmatrix} T_{k+1} \\ X_{k+1} \\ Y_k \end{pmatrix} = \begin{pmatrix} 0 & A_\delta & B_\delta \\ 0 & I & 0 \\ 0 & C_\delta & D_\delta \end{pmatrix} \begin{pmatrix} T_k \\ X_k \\ U_k \end{pmatrix}$$

Forme cascade



$$\begin{pmatrix} I & 0 & 0 \\ \begin{pmatrix} 0 \\ -B_2 \end{pmatrix} & I & 0 \\ -D_2 & 0 & I \end{pmatrix} \begin{pmatrix} T_{k+1} \\ \begin{pmatrix} X_k^{(1)} \\ X_k^{(2)} \\ Y_k \end{pmatrix} \end{pmatrix} = \begin{pmatrix} 0 & \begin{pmatrix} C_1 & 0 \end{pmatrix} \\ 0 & \begin{pmatrix} A_1 & 0 \\ 0 & A_2 \end{pmatrix} \\ 0 & \begin{pmatrix} 0 & C_2 \end{pmatrix} \end{pmatrix} \begin{pmatrix} D_1 \\ \begin{pmatrix} B_1 \\ 0 \\ 0 \end{pmatrix} \end{pmatrix} \begin{pmatrix} T_k \\ \begin{pmatrix} X_k^{(1)} \\ X_k^{(2)} \\ U_k \end{pmatrix} \end{pmatrix}$$

Forme retour d'état / observateur

La forme retour d'état / observateur

$$\begin{cases} \hat{X}_{k+1} &= A_p \hat{X}_k + B_p U_k + K_f (Y_k - C_p \hat{X}_k) \\ U_k &= -K_c \hat{X}_k + Q (Y_k - C_p \hat{X}_k) \end{cases}$$

où (A_p, B_p, C_p) correspondent au système
et K_c, K_f et Q sont les paramètres du régulateur.

Une paramétrisation

$$\begin{pmatrix} \begin{pmatrix} I & 0 \\ -Q & I \end{pmatrix} & \begin{pmatrix} 0 \\ 0 \end{pmatrix} & \begin{pmatrix} 0 \\ 0 \end{pmatrix} \end{pmatrix} \begin{pmatrix} T_{k+1}^{(1)} \\ T_{k+1}^{(2)} \\ \hat{X}_{k+1} \\ U_k \end{pmatrix} = \begin{pmatrix} \begin{pmatrix} 0 & 0 \\ 0 & 0 \\ 0 & 0 \\ 0 & 0 \end{pmatrix} & \begin{pmatrix} -C_p \\ -K_c \\ A_p \\ 0 \end{pmatrix} & \begin{pmatrix} I \\ 0 \\ 0 \end{pmatrix} \end{pmatrix} \begin{pmatrix} T_k^{(1)} \\ T_k^{(2)} \\ \hat{X}_k \\ Y_k \end{pmatrix}$$

Représentativité

La forme implicite spécialisée présentée permet bien

- une meilleure représentativité de la mise en oeuvre numérique
- d'unifier les représentations diverses existantes

Plan

- 1 Problématique précision finie
- 2 La forme implicite pour formalisme
- 3 Critères d'analyse en précision finie
 - Analyse
 - Sensibilité paramétrique
 - Mesure de stabilité
 - Exemple
- 4 Synthèse
- 5 Conclusions

Critères d'analyse

Il faut ensuite mettre en place des *critères génériques de qualité* permettant d'évaluer l'impact de l'implémentation et de choisir une réalisation plutôt qu'une autre.

Coût logiciel

- coût de calcul (nb de coefficients *non triviaux*)
- mémoire
- lisibilité, mise au point, maintenance du code

Résilience

- sensibilité à la quantification des coefficients
 - sensibilité entrée/sortie (boucle ouverte, boucle fermée)
 - sensibilité pôles et zéros (mesure de distance à l'instabilité)
- bruits de quantification

Sensibilité paramétrique

Une mesure utilisée est la mesure de sensibilité de la fonction de transfert (de la loi à implémenter) vis à vis des coefficients mis en jeu.

1^{ère} mesure sensibilité

$$M_{L_2}^1 \triangleq \sum_{X \in \{J, K, L, M, N, P, Q, R, S\}} \left\| \frac{\partial \tilde{H}}{\partial X} \right\|_2^2$$

avec $\tilde{H}(z) \triangleq H(z) - D$

\tilde{H} est strictement propre

$\frac{\partial D}{\partial X}$ est indépendant de toute transformation

Sensibilité paramétrique

- Il ne faut pas prendre en compte les coefficients triviaux
 - $0, \pm 1$: dans la forme implicite spécialisée, de nombreux coefficients sont nuls ou égaux à 1
 - Certains coefficients (des puissances de 2, ...) peuvent être représentés exactement
- À une matrice X de coefficients, on associe une matrice de pondération W_X telle que

$$(W_X)_{i,j} = \begin{cases} 0 & \text{si } X_{i,j} \text{ est } \textit{exactement} \text{ implémenté} \\ 1 & \text{sinon} \end{cases}$$

Sensibilité paramétrique

Sensibilité paramétrique pondérée [Hila05b]

pour une loi SISO, on obtient une mesure pondérée

$$M_{L_2}^W \triangleq \sum_{X \in \{J, K, L, M, N, P, Q, R, S\}} \left\| \frac{\partial \tilde{H}}{\partial X} \times W_X \right\|_2^2$$

On peut aussi l'écrire (pour faciliter les calculs)

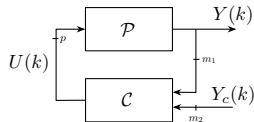
$$M_{L_2}^W = \left\| \frac{\partial \tilde{H}}{\partial Z} \times W_Z \right\|_2^2 \quad \text{avec} \quad Z \triangleq \begin{pmatrix} -J & M & N \\ K & P & Q \\ L & R & S \end{pmatrix}$$

Z : matrice système généralisée

Mesure de stabilité

La quantification des coefficients d'un régulateur peut amener le système en boucle fermée à devenir instable.

Il faut prendre en compte la sensibilité des pôles $(\lambda_k)_{1 \leq k \leq n}$ vis-à-vis des coefficients, ainsi que la distance à l'instabilité.



Mesure de stabilité [Hila06b]

$$\mu(Z) \triangleq \min_{1 \leq k \leq n} \frac{1 - |\lambda_k|}{\left\| \frac{\partial |\lambda_k|}{\partial Z} \times W_Z \right\|_S}$$

On peut relier cette mesure au nombre de bits minimum requis (virgule fixe) pour assurer la stabilité.

Extensions

- La mesure de sensibilité paramétrique est étendue au cas boucle fermée et au cas MIMO [Hila06a]
- Les critères précédents sont évaluables facilement (expressions compactes grâce à Z , utilisation de grammians)
- Ces mesures sont aussi étendues pour prendre en compte la spécificité de la représentation des nombres (virgule fixe, flottante, blocs, etc.)

Exemple

Si on reprend l'exemple du début, on a

Réalisation	Mesure $M_{L_2}^W$	Nb Opérations
Forme directe II	$1.90e + 10$	$13 \times 12+$
Forme équilibrée	$3.99e + 2$	$49 \times 42+$
Forme directe en δ	$1.66e + 2$	$19 \times 18+$

Ces mesures sont bien en accord avec les résultats obtenus après quantification des coefficients.

Plan

- 1 Problématique précision finie
- 2 La forme implicite pour formalisme
- 3 Critères d'analyse en précision finie
- 4 Synthèse
 - Réalisations optimales
 - Classes d'équivalence
 - Exemple
- 5 Conclusions

Réalisations optimales

Pour une matrice de transfert H donnée, on note \mathcal{R}_H l'ensemble des réalisations \mathcal{R} équivalentes, sans contrainte d'ordre.

Le problème de synthèse de réalisation optimale consiste à trouver, parmi \mathcal{R}_H , celles qui minimise un critère \mathcal{J} (significatif en précision finie).

$$\mathcal{R}^{\text{opt}} = \arg \min_{\mathcal{R} \in \mathcal{R}_H} \mathcal{J}(\mathcal{R})$$

\mathcal{R}_H étant trop large, on s'intéresse en pratique à un sous-ensemble, celui de réalisations équivalentes ayant une structure donnée (réalisations d'ordre minimal en q , δ , retour d'état observateur, ...)

Classes d'équivalences

Le *Principe d'Inclusion* (Šiljak) permet de caractériser des classes d'équivalences de réalisations.

Il est possible de l'étendre à la forme implicite, et permet de décrire comment parcourir une classe d'équivalence.

Dans le cas simple où l'on se restreint à ne pas changer les dimensions du système, on peut parcourir la classe d'équivalence par une similarité sur Z

$$\begin{pmatrix} \mathcal{Y} & & \\ & \mathcal{U}^{-1} & \\ & & I_p \end{pmatrix} Z \begin{pmatrix} \mathcal{W} & & \\ & \mathcal{U} & \\ & & I_m \end{pmatrix}$$

\mathcal{U} , \mathcal{Y} , \mathcal{W} inversibles

Exemple

On peut parcourir la classe d'équivalence des réalisations structurée en δ à partir de la donnée d'une réalisation

$$\mathcal{R}_H^\delta = \left\{ \begin{array}{l} Z = \begin{pmatrix} \mathcal{U}^{-1} & & \\ & \mathcal{U}^{-1} & \\ & & I_p \end{pmatrix} Z_0 \begin{pmatrix} \mathcal{U} & & \\ & \mathcal{U} & \\ & & I_m \end{pmatrix} \\ \forall \mathcal{U} \text{ inversible} \end{array} \right\}$$

$$\mathcal{U}^{opt} = \arg \min_{\mathcal{U} \text{ inversible}} \mathcal{J}(\mathcal{U})$$

On utilise un algorithme d'optimisation globale (Recuit Simulé Adaptatif ASA).

Exemple

Dans le cas d'une réalisation en δ , l'optimum trouvé a pour mesure de sensibilité $M_{L_2}^W = 11.32$

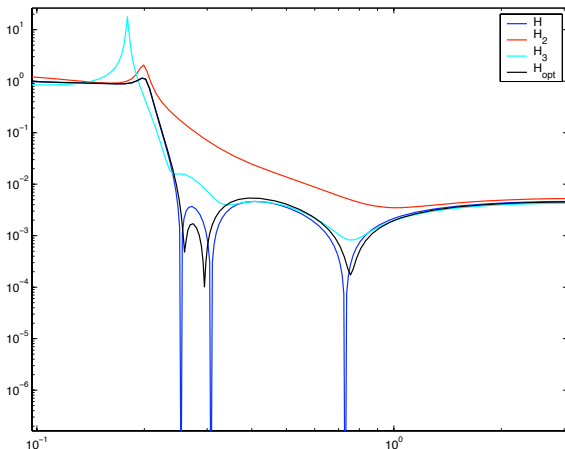


Diagramme de Bode avec coefficients virgule fixe sur 6 bits

Réalisations optimales

Nous avons cherché ici une réalisation en δ optimale, mais d'autres réalisations structurées optimales sont possibles

- découpage cascade ou parallèle
- réalisations mixte q/δ
- réalisations creuses
- ...

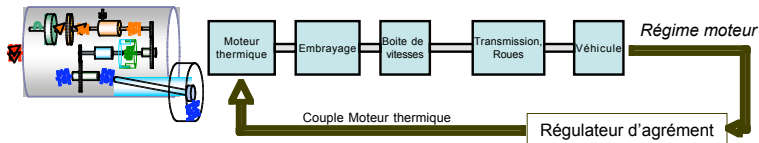
Contrôle actif de la dynamique longitudinale d'un véhicule

L'exemple utilisé ici est un régulateur permettant, sur un groupe moto-propulseur, de réduire les oscillations longitudinales de la chaîne de transmission (D. Lefebvre / P. Chevrel).



Contrôle actif de la dynamique longitudinale d'un véhicule

Le régulateur a été obtenu grâce à une synthèse H_∞ . Il réduit les oscillations de la chaîne de transmission en agissant sur le couple produit par le moteur, et à partir d'une mesure du régime moteur.



Sous forme discretisée, il est défini par la fonction de transfert

$$H(z) = \frac{-0.214z^{10} + 1.332z^9 - 3.402z^8 + 4.265z^7 - 1.803z^6 - 2.23z^5 + 4.105z^4 - 3.072z^3 + 1.285z^2 - 0.2948z + 0.02914}{z^{10} - 6.205z^9 + 16.34z^8 - 23.14z^7 + 17.51z^6 - 3.82z^5 - 5.545z^4 + 6.323z^3 - 3.294z^2 + 0.9679z - 0.1328}$$

Résultats

On peut comparer la sensibilité paramétrique et le coût de calcul (nombre d'opérations) pour quelques réalisations

Sensibilité et coût

realisation	sensibilité	coût
forme q compagne	5.664e+15	20x 21+
forme q équilibrée	4.881	110x 121+
forme q optimale	4.840	110x 121+
forme δ compagne	1.19e+14	20x 31+
forme δ optimale	2.28	120x 131+
Re/Obs	1.905e+3	120x 131+
Réalisation en cascade	3.563	30x 41x

Plan

- 1 Problématique précision finie
- 2 La forme implicite pour formalisme
- 3 Critères d'analyse en précision finie
- 4 Synthèse
- 5 Conclusions

Conclusion et perspectives

Résumé

- Problématique *précision finie*
- La forme implicite spécialisée
 - formalisme unificateur
 - forme macroscopique plus représentative des calculs mis en œuvre
 - ouvre le champ de l'analyse et la synthèse d'implémentation
- Critères d'analyse
 - coût de calcul
 - mesure de sensibilité paramétrique
 - mesure de stabilité
- Un exemple illustratif

Principales contributions

Les principales contributions de la thèse sont

- Un formalisme unificateur, macroscopique, pour décrire l'ensemble des réalisations
- Une mesure de sensibilité paramétrique
- Une mesure de sensibilité des pôles (relative à la stabilité)
- Pour chacune de ces mesures
 - cas SISO et MIMO
 - boucle ouverte et boucle fermée
 - prise en compte de la spécificité de représentation (virgule fixe, flottante, ...)
- Le problème de réalisation structurée optimale

Conclusion et perspectives

Perspectives (1/2)

- Mesure du bruit de quantification (modélisation fine du code associé)
- Synthèse multi-objectifs (gestion de compromis)
 - bruits de calculs, sensibilité paramétrique, sensibilité des pôles
 - coût de calcul (caractère creux des matrices)
- Cas Linéaire à Paramètres Variants
- Méthodologie (cartographie des sensibilités, blocs élémentaires, ...)

Conclusion et perspectives

Perspectives (2/2)

Développement à court terme d'une *toolbox*

- les mesures développées sont déjà implémentées
- cela permettrait
 - l'analyse de sensibilité
 - la synthèse de réalisations optimales
 - la génération automatique de code (choix pour la virgule fixe, ordre des calculs, ...)

Publications



[Hila05a] T. Hilaire, P. Chevrel, and Y. Trinquet.

Implicit state-space representation : a unifying framework for FWL implementation of LTI systems.

In Proc. of IFAC05 World Congress, July 2005.



[Hila05b] T. Hilaire, P. Chevrel, and Y. Trinquet.

Designing low parametric sensitivity FWL realizations of LTI controllers/filters within the implicit state-space framework.

In Proc. of CDC-ECC'05, December 2005.



[Hila06a] T. Hilaire, P. Chevrel, and J-P. Clauzel.

Low Parametric Sensitivity Realization Design for FWL Implementation of MIMO Controllers : Theory and Application to the Active Control of Vehicle Longitudinal Oscillations

In Proc. of Control Applications of Optimisation, April 2006.



[Hila06b] T. Hilaire, P. Chevrel, and J-P. Clauzel.

Pole Sensitivity Stability Related Measure of FWL Realization with the Implicit State-Space Formalism

To appear in Proc. of ROCOND'06, July 2006.

